

密詰砂の三次元摩擦角に基づく応力・変形特性(体積変化を中心として)

九州大学工学部 正 山内豊聰 正 林 重徳
 同 等○小川清志 吉田弘明
 北九州市 生方敏博 関本茂樹

1. まえがき

筆者らは、これまでに実施してきた種々の三主応力制御試験の結果より、三次元包絡線に基づく降伏条件式を誘導・提示してきた。土の三次元的な応力・ひずみ関係式を普遍的な形で表現するためには、降伏条件式(降伏関数)を定めるとともに、降伏が生じた時の、各種のひずみ増分の比と応力状態との関係を明らかにする必要がある。本文では、密詰砂を用いた三主応力制御試験結果について、体積変化を中心に考慮し、三次元包絡線に基づく応力比・ひずみ増分比関係式の誘導を試みるものである。

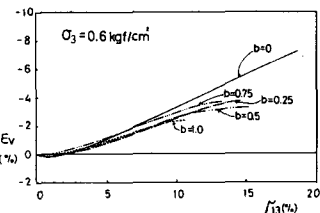
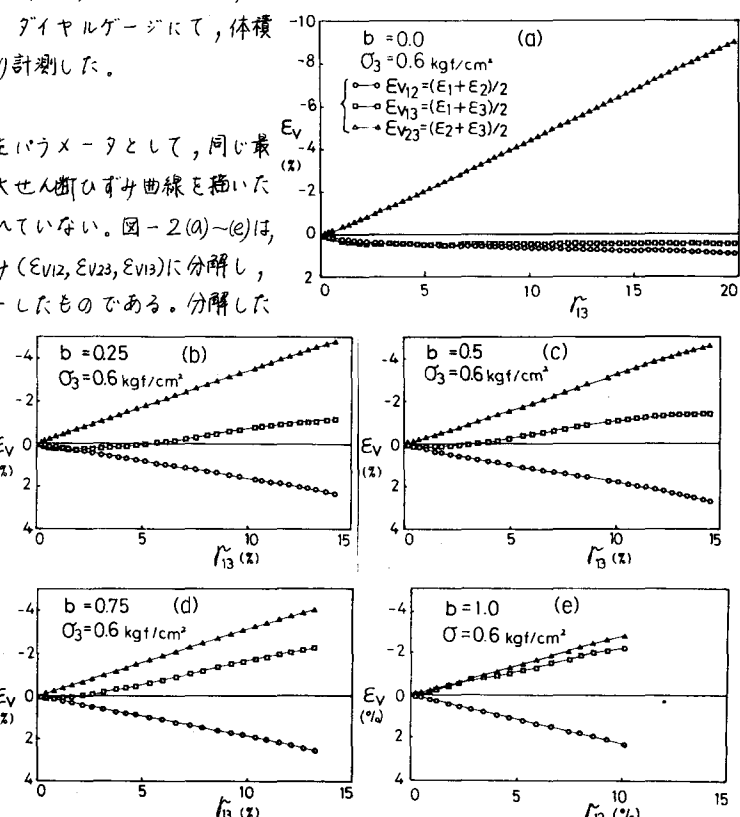
2. 試料及び試験方法

用いた試料は、豊浦標準砂($G_s = 2.64$, $U_e = 1.5$, $e_{max} = 0.982$, $e_{min} = 0.582$)である。供試体は、気乾燥状態の試料をマイラー・ボックス内で所定の間隙比($e = 0.65$)になるようにタンバーで突き固め、炭酸ガスを送りこした後、通水飽和させた。試験は、所定の圧力で等方圧縮後、Bishopの中間主応力係数(b 値)をパラメータとして、 $b = 0, 0.25, 0.50, 0.75, 1.0$ に変化させ、排水状態で実施

した。なお、 ϵ_1 及 ϵ_3 の変位量は、ダイヤルゲージにて、体積変化量は、直接ピューレットにより計測した。

3. 体積ひずみについて

図-1は、中間主応力係数(b)をパラメータとして、同じ最小主応力の場合の体積ひずみ-最大せん断ひずみ曲線を描いたものであるが、明瞭な傾向は現われていない。図-2(a)-(e)は、体積ひずみを3つの平均主ひずみ($\epsilon_{V12}, \epsilon_{V23}, \epsilon_{V13}$)に分解し、最大せん断ひずみを横軸にプロットしたものである。分解した3つの曲線の和が、図-1の体積ひずみ曲線となる。このように分解することにより、 b 値による差違が明らかとなり、また同じ b 値においては、 ϵ_3 によらず同じ傾向を示すことがわかる。すなわち、 $b = 0$ では、 ϵ_{V23} が初期の変形段階から直線的に膨張を続けているのに対し、 $\epsilon_{V12}, \epsilon_{V13}$ は初期に収縮した後はば-定となっている。 $b = 1.0$ では、 ϵ_{V12} は初期段階からほぼ直線的に収縮し、 $\epsilon_{V23}, \epsilon_{V13}$ は逆に直線的に膨張している。さらに、その中間の b 値では、 $b=0$ の傾向

図-1 ϵ_V ～ ϵ_3 関係図-2 (a)～(e) ϵ_{Vij} ～ ϵ_3 関係

